

V Dipôles Electriques & Magnétiques

V.1) Dipôles électriques

$$x \quad \begin{cases} V(\mathbf{r}) \\ \vec{E}(\mathbf{r}) \cdot \vec{P} \end{cases}$$

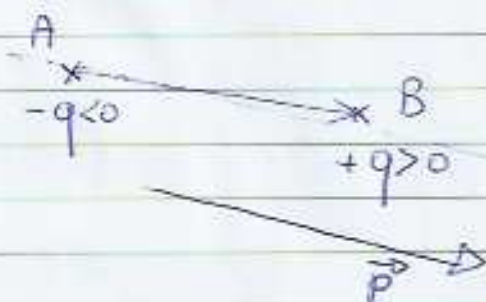
i) Définition

x Exemples du doublet $q > 0$

moment dipolaire : $\vec{p} = q \vec{AB}$

$$\sum q_i = q_A + q_B = -q + q = 0$$

$$[\vec{p}] = \text{C.m}$$



x Distribution de charges dipolaire

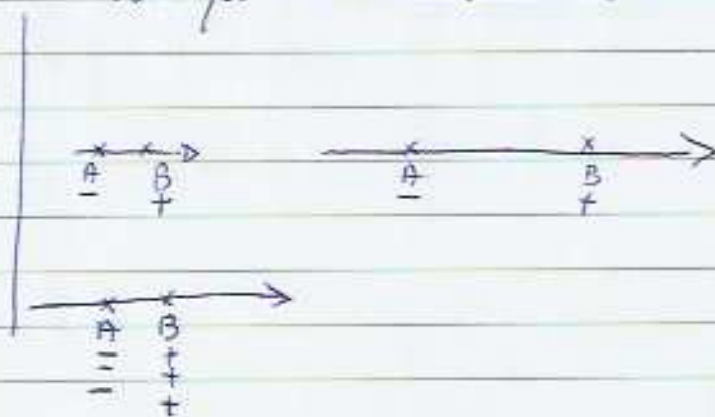
$$\iiint_V \rho(\mathbf{r}) d\tau(\mathbf{r}) = 0 : \text{neutre !}$$

$$\iiint_V \rho(\mathbf{r}) \vec{OP} d\tau(\mathbf{r}) = \vec{p} \neq \vec{0}$$

↑
dif. moment dipolaire élect.
indépendant du choix de O



ex géométriques



MEMO

ii) Dipôle actif \rightarrow calcul $V(n)$, $\vec{E}(n)$? \vec{p}

x Approximation du dipôle

distance de M au dipôle (distr. charges dipolaires)
est grande par rapport à l'extension de la distribut.

x Cas doublet

$$\vec{AB} = \vec{a}, \quad q_A = -q_B = -q < 0$$

O (le milieu de) \vec{AB}

$$n / \vec{r} = \vec{ON} \text{ avec } \boxed{r \gg a}$$

n • potentiel: $V(n) = V_A(n) + V_B(n) \quad 1 \gg \frac{a}{r}$

$$V(n) = \frac{q}{4\pi\epsilon_0} \left(-\frac{1}{\|\vec{AN}\|} + \frac{1}{\|\vec{BN}\|} \right) \rightarrow \|\vec{AN}\|, \|\vec{BN}\| ?$$

$\vec{AN} = \vec{AO} + \vec{ON}$
 $\|\vec{AN}\|^2 = \frac{a^2}{4} + r^2 - a \cdot r \cos \theta = r^2 \left(\frac{1}{4} \frac{a^2}{r^2} + 1 - \frac{a}{r} \cos \theta \right)$

$$\frac{1}{\|\vec{AN}\|} = \frac{1}{r \sqrt{1 - \frac{a}{r} \cos \theta + \frac{a^2}{4r^2}}} \sim \frac{1}{r} \left(1 + \frac{a \cos \theta}{2r} \right) \text{ à l'ordre 2 (négligé: } \frac{a^2}{r^2} \text{)}$$

$$V(n) = \frac{q}{4\pi\epsilon_0 r} \left(-1 + \frac{a \cos \theta}{2r} + 1 + \frac{a \cos \theta}{2r} \right) = \frac{q a \cos \theta}{4\pi\epsilon_0 r^2}$$

$$q a \cos \theta = \frac{\vec{p} \cdot \vec{r}}{r} = \frac{\|\vec{p}\| \|\vec{r}\| \cos \theta}{r} = q a \cos \theta$$

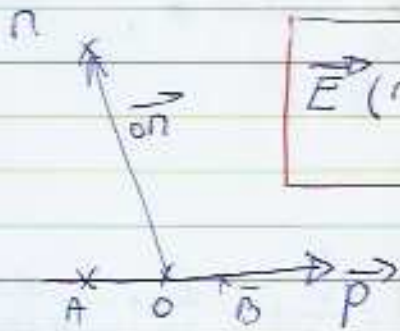
$$\boxed{V(n) = \frac{\vec{p} \cdot \vec{r}}{4\pi\epsilon_0 r^3}}$$



MEMO

- champ électrique \rightarrow calcul direct $\vec{E}(\pi) = \vec{E}_A + \vec{E}_B$
 $\rightarrow \vec{E} = -\text{grad } V(\pi)$
 \hookrightarrow sur coord. de π

$$\vec{E}(\pi) = \frac{1}{4\pi\epsilon_0 r^3} \left(\underbrace{\frac{3(\vec{p} \cdot \vec{r})}{r^2}}_{\text{orienté suivant } \vec{r}} \underbrace{\vec{r}}_{\text{suivant l'orientation du dipôle}} - \vec{p} \right) \quad \text{voir au verso ...}$$



orienté suivant \vec{r} / suivant l'orientation du dipôle

x Cas de la distribution dipolaire

- approx dipolaire: $r \gg \text{distance max}(OP)$

- potentiel $V(\pi) = \iiint_V \frac{\rho(P)}{4\pi\epsilon_0 \|\vec{r}\|} d\tau(P)$

développement limité de $\frac{\rho(P)}{\|\vec{r}\|} \Rightarrow \frac{\rho(P) \vec{OP} \cdot \vec{on}}{\|\vec{on}\|^3}$

Rem: \vec{on} ne change ps dans l'intégrale (sur P)

$$V(\pi) = \iiint_V \frac{\rho(P) \vec{OP}}{4\pi\epsilon_0} d\tau(P) \cdot \frac{\vec{on}}{r^3}$$

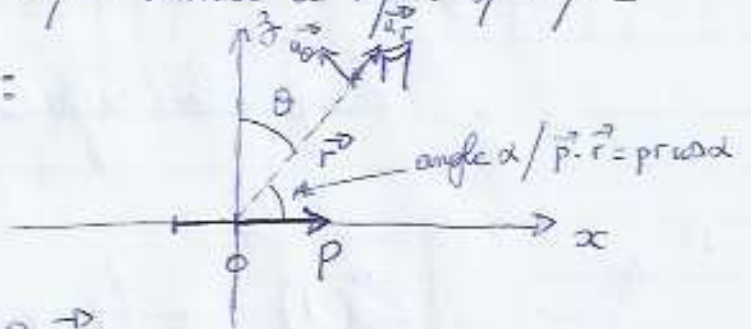
$$V(\pi) = \frac{\vec{p} \cdot \vec{r}}{4\pi\epsilon_0 r^3}$$

- calcul du champ via $\vec{E}(\pi) = -\text{grad } V(\pi)$

\hookrightarrow expression générale = expr. pour doublet.

* Démo de $\vec{E} = \frac{1}{4\pi\epsilon_0 r^3} \left(\frac{3 \vec{p} \cdot \vec{r}}{r^2} \vec{r} - \vec{p} \right)$ à partir de $V = \frac{\vec{p} \cdot \vec{r}}{4\pi\epsilon_0 r^3}$

• Sans perdre en généralité, on peut orienter le repère sphérique telle que $\vec{p} \parallel \vec{Ox}$ selon :



• On a alors :

$$\begin{cases} \vec{r} = r \vec{u}_r \\ \vec{p} = p \sin \theta \vec{u}_\theta + p \cos \theta \vec{u}_\phi \\ \vec{p} \cdot \vec{r} = pr \sin \theta \end{cases}$$

• on calcule $\vec{E} = - \vec{\text{grad}} \left(\frac{\vec{p} \cdot \vec{r}}{4\pi\epsilon_0 r^3} \right)$ où $\vec{\text{grad}} = \frac{\partial}{\partial r} + \frac{1}{r} \frac{\partial}{\partial \theta} + \frac{1}{r \sin \theta} \frac{\partial}{\partial \phi}$

$$\text{soit } \vec{E} = - \frac{1}{4\pi\epsilon_0} \left(p \frac{\partial}{\partial r} \left(\frac{1}{r^2} \right) \vec{u}_r + \frac{p r}{r^3} \frac{\partial \sin \theta}{\partial \theta} \vec{u}_\theta \right)$$

$$\vec{E} = \frac{1}{4\pi\epsilon_0 r^3} \left(+ 2 p \sin \theta \vec{u}_r - p \cos \theta \vec{u}_\theta \right)$$

$$\vec{E} = \frac{1}{4\pi\epsilon_0 r^3} \left(\underbrace{3 p \frac{r}{r} \sin \theta \frac{r}{r} \vec{u}_r}_{\frac{3 \vec{p} \cdot \vec{r}}{r^2} \vec{r}} - \underbrace{p \sin \theta \vec{u}_r + p \cos \theta \vec{u}_\theta}_{\vec{p}} \right)$$

$$\boxed{\vec{E} = \frac{1}{4\pi\epsilon_0 r^3} \left(\frac{3 \vec{p} \cdot \vec{r}}{r^2} \vec{r} - \vec{p} \right)}$$

MEMO

x Equipotentiellles et lignes de champ ?

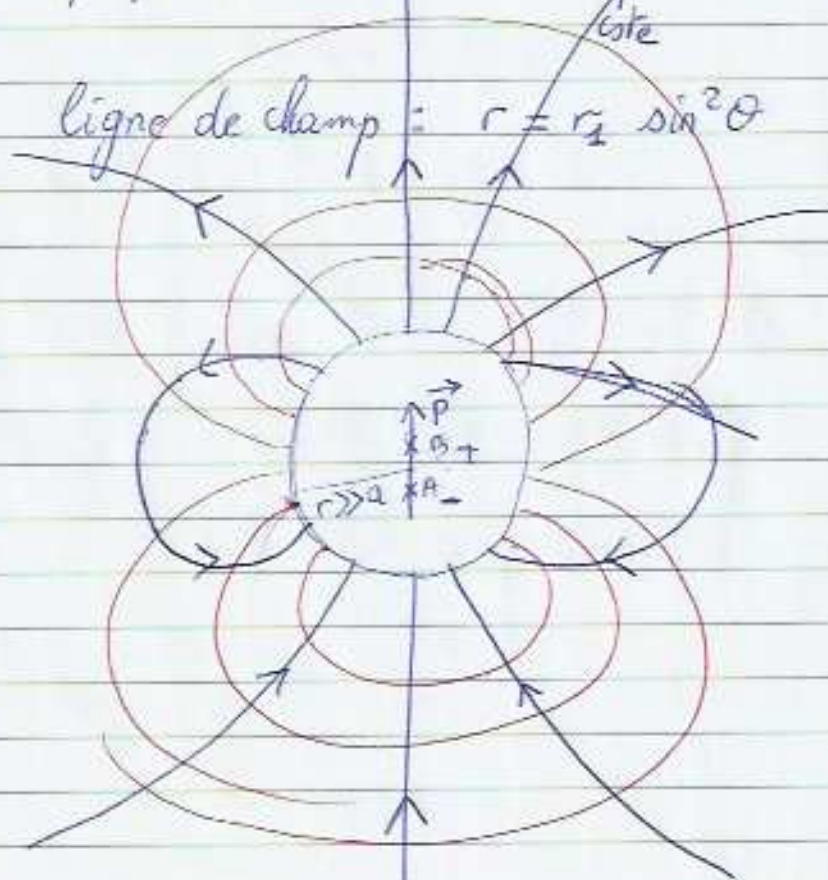
• equipotentielle: $V(\vec{r}) = \text{cte} \Rightarrow dV(\vec{r}) = 0 = \underbrace{\vec{\text{grad}} V}_{= \vec{E}(\vec{r})} \cdot d\vec{r}$

• ligne de champ: $d\vec{r} \parallel \vec{E} \Rightarrow d\vec{r} \cdot \vec{E}(\vec{r}) = 0$

• cas du doublet $V(r) = \frac{qa \cos \theta}{4\pi\epsilon_0 r^2} = \text{cte}$

equipotentielle: $\cos \theta = c \times r^2$ ou $r = r_0 \sqrt{\cos \theta}$

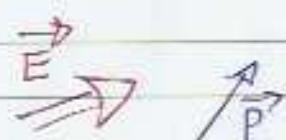
ligne de champ: $r = r_1 \sin^2 \theta$



\Rightarrow Remarquer la similitude avec lignes d'un champ magnétique par un aimant simple avec un pôle N et un pôle S!

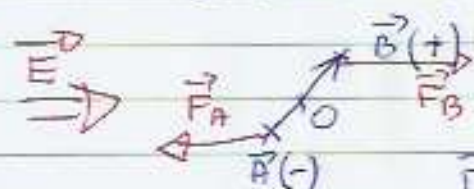
MEMO

iii) Dipôle passif \rightarrow force exercée sur le dipôle ?
lorsqu'il est immergé dans \vec{E}_{ext}



x champ uniforme \vec{E} indépendant de $\mathcal{M}(\vec{r})$

• doublet : $\vec{F}_E = \vec{F}(A) + \vec{F}(B) = -q\vec{E} + q\vec{E} = \vec{0}$



moment des forces / O ($\vec{T}_O(n) = \vec{OA} \wedge \vec{F}(n)$)

$$\vec{T}_O = \vec{T}_O(A) + \vec{T}_O(B) = \vec{OA} \wedge (-q\vec{E}) + \vec{OB} \wedge (q\vec{E})$$

$$\vec{T}_O = q (\underbrace{\vec{AO} + \vec{OB}}_{\vec{p}}) \wedge \vec{E} = \boxed{\vec{p} \wedge \vec{E}}$$

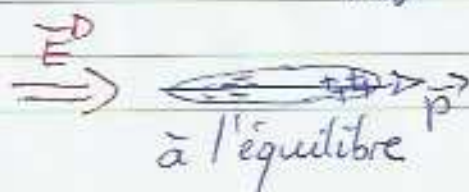
\rightarrow le champ fait tourner le dipôle

jusqu'à l'équilibre ($\Leftrightarrow \vec{T}_O = \vec{0}$), $\vec{p} \parallel \vec{E}$

• distribution dipolaire de charges ($\iiint_V \rho d\tau = 0, \vec{p} \neq \vec{0}$)

$$\vec{F} = \iiint_V \rho \vec{E} d\tau = \vec{E} \iiint_V \rho d\tau = \vec{0}$$

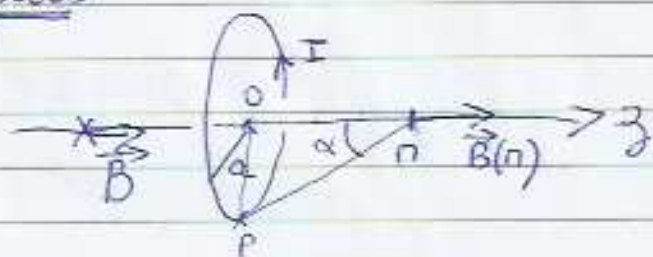
$$\vec{T}_O = \iiint_V \vec{OP} \wedge \rho \vec{E} d\tau = \iiint_V \rho \vec{OP} d\tau \wedge \vec{E} = \boxed{\vec{p} \wedge \vec{E}}$$



MEMO

V.2) Dipôles magnétiquesi) Définition

* Ex de la spire



sur l'axe: $\vec{B}(z) = \frac{\mu_0 I}{2a} \sin^3 \alpha \vec{u}_z$

* approximation dipolaire: $z \gg a \Rightarrow \alpha \ll 1, \sin \alpha \approx \frac{a}{PM} \approx \frac{a}{z}$

$\Rightarrow \vec{B}(z) = \frac{\mu_0}{4\pi} \frac{I 2\pi a^3}{a z^3} \vec{u}_z$ où $\pi a^2 = S$, surf. spire

$\vec{B}(z) = \frac{\mu_0}{4\pi} \frac{2 \cancel{I S} \vec{u}_z}{z^3} \equiv \vec{m}$ moment dipolaire magnétique

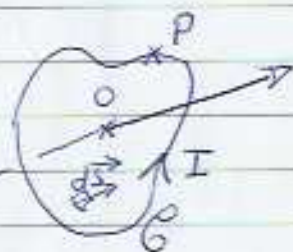
on définit $\vec{S} = \pi a^2 \vec{u}_z$, surface orientée suivant Ampère

$\vec{m} = I \vec{S}$

et $\vec{B}(z) = \frac{\mu_0}{4\pi} \frac{2 \vec{m}}{z^3}$

* Cas des circuits filiformes

* circuit fermé avec surface orientée \vec{S}



$\vec{S} = \iint_C d\vec{S} = \frac{1}{2} \oint_C \vec{OP} \wedge d\vec{OP}$ indépendant du choix de O.

* Par définition: $\boxed{\vec{m} = I \vec{S}}$



MEMO

x Cas général d'une densité volumique de courant \vec{j}

$$\vec{m} = \frac{1}{2} \iiint_{V(e)} \vec{OP} \wedge \vec{j}(P) d\tau \quad \left(\int I d\vec{OP} \Leftrightarrow \iiint \vec{j} d\tau \right)$$

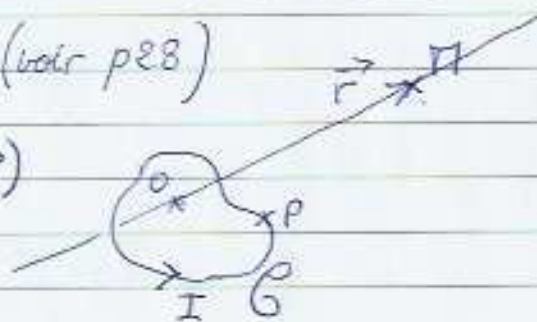
toutes les distributions \vec{j} ne conduisent pas à un dipôle!
avec $\iiint_V \vec{j}(P) d\tau = \vec{0}$ (équivalente à $\iiint \rho d\tau = 0$)
alors \vec{m} est indépendant du choix de O.

ii) Dipôles actifs \rightarrow calcul $\vec{B}, \vec{A} ? \vec{m}$

x Potentiel vecteur $\vec{A}(\pi)$ (voir p28)

approx dipolaire: $OP \gg \text{diam max}(OP)$

$$\vec{A}(\pi) = \frac{\mu_0 I}{4\pi} \oint \frac{d\vec{OP}}{\|\vec{PP'}\|}$$



dev. limité de $\frac{1}{\|\vec{PP'}\|} = \frac{1}{r} \left(1 + \frac{\vec{OP} \cdot \vec{r}}{r^2} \right)$

$$\vec{A}(\pi) = \frac{\mu_0}{4\pi} \frac{\vec{m} \wedge \vec{r}}{r^3} \quad \left(\text{à comparer à } V(\pi) = \frac{\vec{p} \cdot \vec{r}}{4\pi\epsilon_0 r^3} \right)$$

x Champ magnétique (par analogie avec dipôle électrique)

$$\vec{B}(\pi) = \frac{\mu_0}{4\pi r^3} \left(\frac{3(\vec{m} \cdot \vec{r})}{r^2} \vec{r} - \vec{m} \right)$$



MEMO

Suite ~~V~~. 2.ii)

- * Lignes de champ engendrées par un dipôle magnétique
 - ↳ similaire à celui p 40 (aimant avec 2 pôles N & S).

iii) Dipôles passifs \rightarrow forces exercées sur le dipôle q lorsqu'il est immergé dans \vec{B}_{ext} .

- * champ uniforme \vec{B} indépendant de \vec{r}

- * Force de Lorentz pour circuit filiforme parcouru par I

$$q \vec{v} \wedge \vec{B} \rightarrow I d\vec{l} \wedge \vec{B} \text{ avec } d\vec{l} = d\vec{OP}$$

$$\text{donc } \vec{F}_C = \oint_C I d\vec{OP} \wedge \vec{B}_{ext}$$



$$\vec{F}_C = I \left(\oint_C d\vec{OP} \right) \wedge \vec{B}_{ext} = \vec{0} \text{ car } \oint_C d\vec{l} = \vec{0} !$$

.../...

- * moment de la force : $\vec{T}_O = \oint_{OP} \vec{OP} \wedge (I d\vec{OP} \wedge \vec{B}_{ext})$
- par rapport à O

$$\text{on montre que } \boxed{\vec{T}_O = \vec{m} \wedge \vec{B}_{ext}}$$

$$I \left[(\vec{OP} \cdot \vec{B}_{ext}) d\vec{OP} - (\vec{OP} \cdot d\vec{OP}) \vec{B}_{ext} \right]$$

$= 0 !$

\Rightarrow le moment s'annule à l'équilibre $\Rightarrow \vec{m} \parallel \vec{B}_{ext}$

le champ ext. fait tourner le dipôle pour l'aligner dans sa direction (principe de la boussole)



x On montre que dans le cas général d'une distribution de courant; la résultante des forces est:

$$\vec{F} = (\underbrace{\vec{m} \cdot \vec{\text{grad}}}_{\text{nouvel opérateur différentiel}}) \vec{B}_{\text{ext}}$$

nouvel opérateur différentiel:

$$m_x \frac{\partial}{\partial x} \vec{u}_x + m_y \frac{\partial}{\partial y} \vec{u}_y + m_z \frac{\partial}{\partial z} \vec{u}_z$$